

Tribunal de Grande Instance de Grenoble
Dépôt de plainte pour PLAGIAT auprès du Procureur de la République
par Jean-Paul YONNET

Des articles, des schémas, des photos dont je suis l'auteur se sont retrouvées dans l'ouvrage :

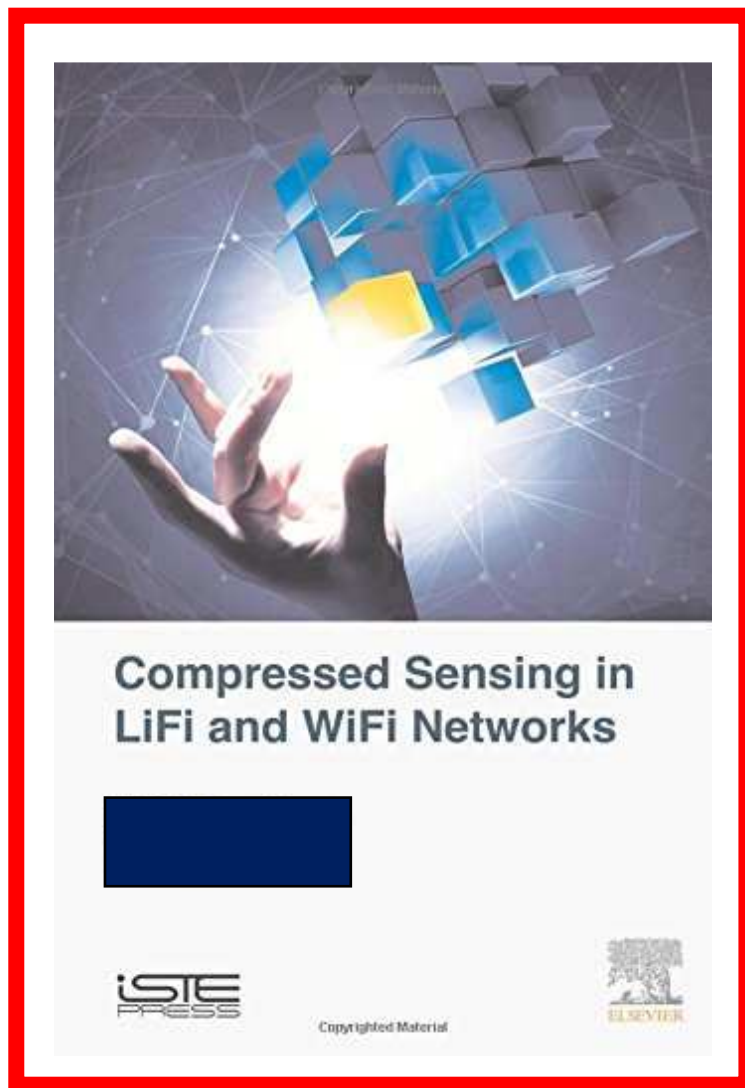
« Compressed Sensing in Wifi and LiFi Networks »

Editions ISTE et Elsevier

Quelques extraits du dossier de plainte

Les noms des auteurs du plagiat ont été volontairement occultés dans ce document

1- Les faits



Les éditions ISTE Press (Londres) et Elsevier (New York) ont publié un ouvrage en anglais intitulé « **Compressed Sensing in LiFi and WiFi Networks** ». Cet ouvrage est sorti fin 2017. Il est largement diffusé, il est par exemple au catalogue de la FNAC en France.

Le chapitre 6 de cet ouvrage est une compilation de 7 articles que j'ai écrits. C'est beaucoup plus rapide de faire la liste des paragraphes que je n'ai pas écrit dans ce chapitre 6. Il y a en 3:

- l'introduction (page 39, et 2 lignes en page 40),
- le schéma (Figure 6.1) en bas de la page 40,
- le paragraphe final (5 lignes en bas de la page 67)

Tout le reste, c'est-à-dire de la page 40 à la page 67, c'est du plagiat complet de mes articles : texte, photos, schémas, etc

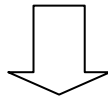
Mon nom n'apparaît nulle part dans cet ouvrage. Il n'est même pas cité en référence. Je n'existe pas. C'est du pillage délibéré de mes travaux. Les textes, les schémas, les photos ont été entièrement plagiés dans 27 pages de l'ouvrage.

1- **2- Illustration du plagiat par quelques extraits**

Première colonne :

extraits de l'ouvrage « Compressed Sensing ... »

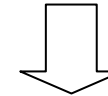
*Pour faciliter la lecture du document, toutes les pages
provenant de l'ouvrage ont été encadrées en rouge*



Premier exemple, pages 45 à 47 de l'ouvrage

Seconde colonne :

Les publications de F1LVT



L'article copié est en ligne sur internet, sur le site web
<www.F1LVT.com>

L'article plagié dans cet extrait est :

[6] Jean-Paul YONNET, « Un récepteur multifréquence simple et performant pour l'écoute et le décodage des balises de détresse 406 MHz (seconde partie) »

<http://www.f1lvt.com/files/546-RX-406-Part2-V5.217.pdf>

Dans cette colonne, ce sont les pages 3 et 4 de cet article

In order for us to use the map as a receiver for case 406, it should be able to receive frequencies varying from 406.025 to 406.040 MHz. More exactly, the four frequencies 406.025, 406.028, 406.037 and 406.040 MHz are considered. The 15 kHz range of these different frequencies is easily covered by the varicap control without any special modification.

6.2.2.1.2. Second modification

The modifications on the map only affect the 2 quartz changes, written as XTAL201 and XTAL301, as shown in Figure 6.6.

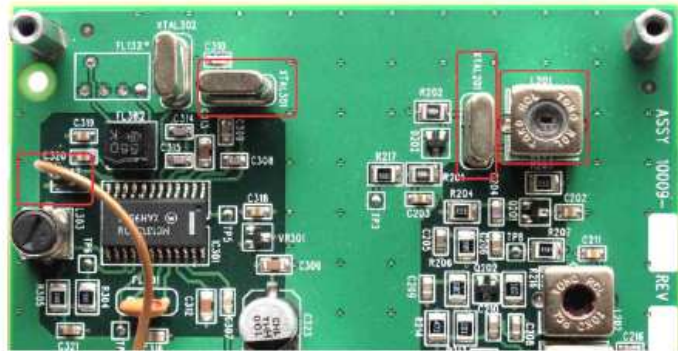


Figure 6.6. The elements to be modified on the WAVIX receiver map

On the left, around the MC13135 circuit, it is necessary to change the XTAL301 and on the right (OL1 oscillator), it is necessary to replace XTAL201.

L201 inductance makes it possible to adjust the center frequency, and the wire added to C322 is used to measure the signal's power (RSSI or S-meter).

For the first LO, 20.63 MHz quartz is replaced by a Q1 = 20.736 MHz (Figure 6.7) and the 18.43 MHz quartz of the second oscillator is replaced by a quartz Q2 = 22.1184 MHz (Figure 6.8).

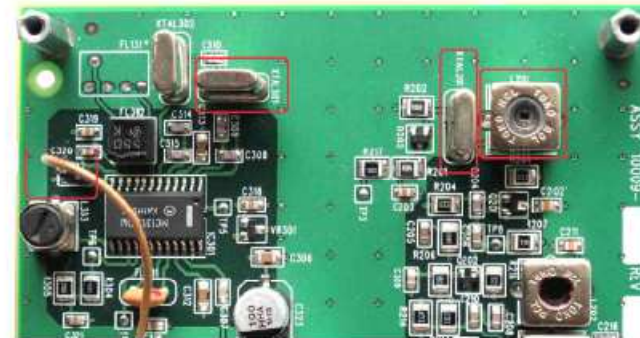


Photo 2 : Les éléments à modifier sur la carte du récepteur Wavix : sur la partie gauche, autour du circuit MC13135, il faut remplacer XTAL301 et ajouter la prise du signal du S-mètre sur C322 ; sur la partie droite (oscillateur OL1), il faut remplacer XTAL201 et ajuster la fréquence par L201.

La photo 2 montre les éléments à modifier sur la carte. XTAL201 est le quartz du premier oscillateur local, dont la fréquence est multipliée par 18. Le quartz d'origine (20,63 MHz) est à remplacer par un quartz 20,736 MHz (Photo 3). À côté de ce quartz, l'inductance L201 permet d'ajuster la fréquence de l'oscillateur. De l'autre côté du quartz, on voit la diode D202, une double Varicap de type BB200 [1].

Toujours sur la photo 2, près du circuit MC13135, XTAL301 est le quartz du deuxième oscillateur local. Le quartz d'origine à 18,43 MHz est à remplacer par un quartz 22,1184 MHz (Photo 4). Près du bord de la carte (Photo 2), on voit un fil marron soudé sur le condensateur C322, sur l'extrémité la plus proche du MC13135. Ce fil transmet à la carte additionnelle le niveau du signal de sortie (RSSI) ce qui permet de piloter le S-mètre.

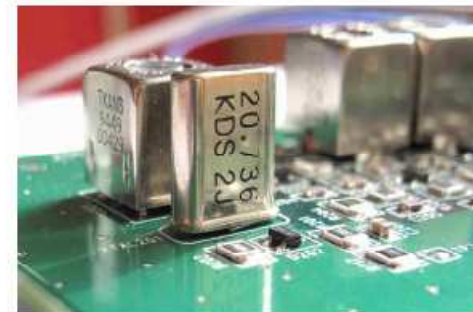


Photo 3 : Le nouveau quartz du premier oscillateur local

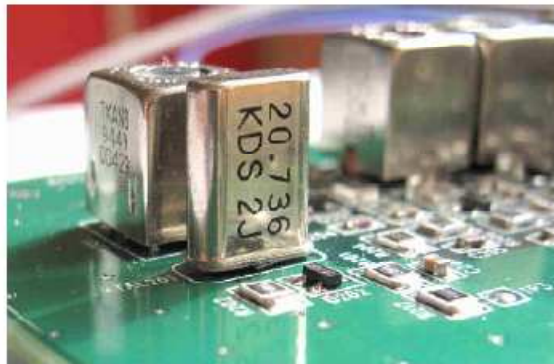


Figure 6.7. The new quartz for the first local oscillator



Figure 6.8. The second local oscillator; the quartz 22.1184 is in HC-49S format

Figure 6.9 shows the receiver's performance, with its triple frequency change and its three LOs. The first oscillator is now equipped with a 20.736 MHz quartz whose frequency is multiplied by 18 to give the initial frequency $OL1 = 373.214$ MHz. The two other oscillators are governed by circuit MC13135.



Photo 4 : Pour le deuxième oscillateur local, le quartz 22,1184 est en format HC-49S

Le quartz 20,736 MHz de l'OL1 est utilisé pour donner les fréquences de référence des systèmes téléphoniques DECT. On le trouve sur Ebay à moins de 3 euros (port en plus) par paquet de 10. Quant au quartz 22,1184 MHz, il est utilisé dans les systèmes de transmission type UART car cette fréquence permet de générer les différentes vitesses standard de transmission (4800 bd, 9600 bd, etc ...). On trouve ce quartz à moins d'1,50 € les 10 sur Ebay (port compris).

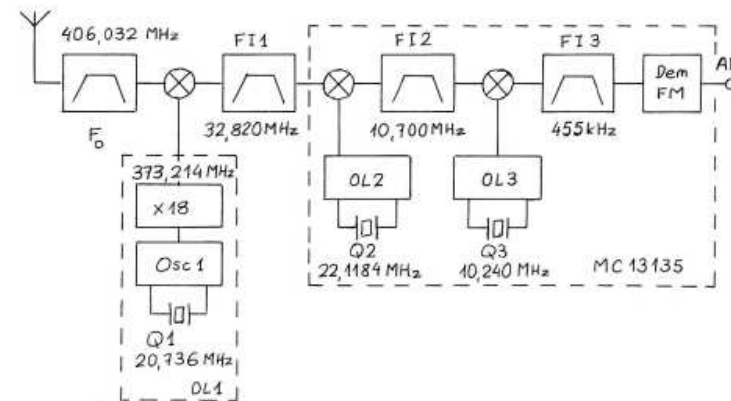


Figure 1 : Les différentes fréquences des oscillateurs locaux (OL1 OL2 et OL3) et les fréquences intermédiaires (FI1, FI2 et FI3)

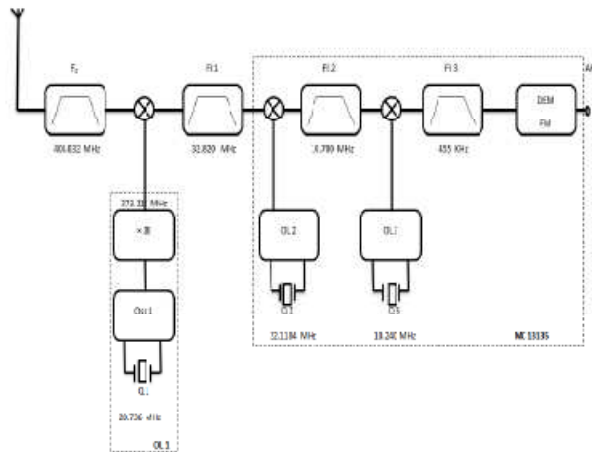


Figure 6.9. The different frequencies of the local oscillators (OL_1 , OL_2 and OL_3) and the intermediate frequencies (F_1 , F_2 and F_3)

6.2.3. Supply

The supply for the WAVIX map is provided with 12 V for input circuits and 5 V for demodulation. The voltage of 5V is obtained using a 7805 regulator, as shown in Figure 6.10.

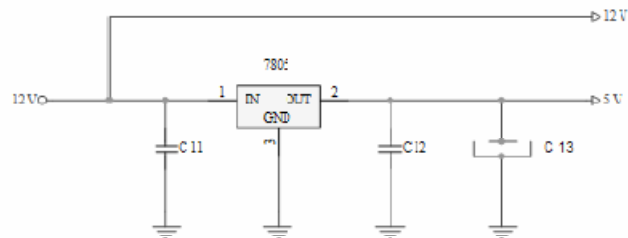


Figure 6.10. Supply circuit, 12 and 5 V

Commentaires :

Le texte a été un peu remanié par endroit, puis il a été traduit en anglais.

Les Photos ont été récupérées par les plagieurs, et réutilisées telles quelles. Aucun scrupule !

Je suis l'auteur des photos apparaissant sur les Figures 6.6, 6.7, et 6.8. Quand je prends une photo, c'est toujours en haute définition, puis la photo est recadrée, la luminosité est corrigée, et enfin l'image est compressée pour que la taille finale ne dépasse pas 200 ko.

Comme précédemment, la Figure 6.9 a été redessinée, mais tout a été conservé, y compris la légende originale.

Deuxième exemple, pages 50 de l'ouvrage

L'article copié est en ligne sur internet, sur le site web
<www.F1LVT.com>

L'article plagié dans ce deuxième extrait est :
[3] Jean-Paul YONNET, « Décodeur de trames de balises de détresse 406 MHz : de nouvelles fonctionnalités avec la carte DECTRA (Partie 1 / 2) »
<http://www.f1lvt.com/files/333-CarteDECTRA-V6P1.179.pdf>

Dans cette colonne, ce sont les pages 8 et 9 de cet article

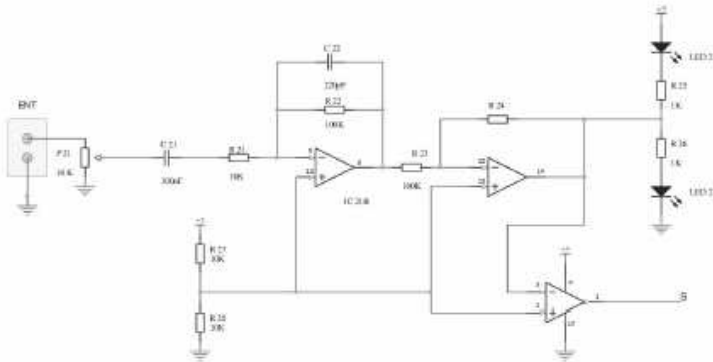


Figure 6.12. Schema of the input circuit and signal formatting

Resistors R23 and R24 define the switching threshold of the second amplifier, which has 250 mV with the values used. With the gain of 10 from the first amplifier, the assembly's sensitivity is 25 mV. It is well adapted to most receivers. Where we need to increase this sensitivity, it will be necessary to increase R22 and reduce C22 in the same proportion to keep the same cut-off frequency for the filter.

6.2.3.2.2. Microcontroller

The PIC can only perform with some peripheral components, and it governs the display. The direct inputs are S (squared signals) and G (Clock Input). For the assembly around the microcontroller, the resistor R31 has been added to pin 26 (Figure 6.13). Elsewhere, the resistors in series with the push-button switches have been increased to 4.7 k Ω .

4B - Le circuit d'entrée et de mise en forme des signaux

Les signaux sont amplifiés et filtrés par le premier étage du circuit d'entrée (Figure 5). Le potentiomètre P21 permet d'ajuster le niveau d'entrée et C21 supprime la composante continue. Le pont diviseur R27 - R28 fournit le niveau de polarisation à 2,5 V pour les entrées de références des amplificateurs.

Le niveau de la sortie du second étage bascule entre 0 et 5V, ce qui fait qu'une seule des deux LED (LED21 et LED22) est allumée. En fonctionnement, le bruit de fond de sortie FM du récepteur produit un basculement rapide de la sortie, ce qui fait que les deux LED paraissent rester allumées. Si une seule LED seulement est allumée, le décodeur n'entend pas le bruit de fond du récepteur. Le troisième amplificateur n'est utilisé que pour la mise en forme des signaux avant traitement par le PIC.

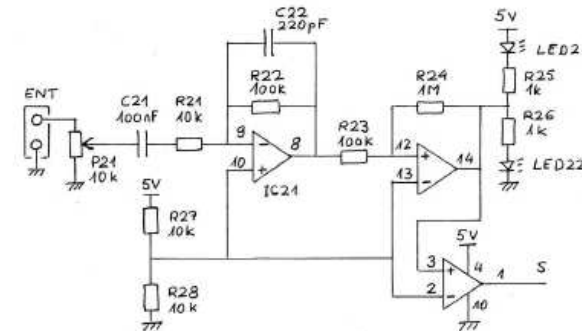


Figure 5 : Schéma du circuit d'entrée

Composants du circuit d'entrée

R21	10 k Ω	
R22	100 k Ω	
R23	100 k Ω	
R24	1 M Ω	
R25	1 k Ω	
R26	1 k Ω	
R27	10 k Ω	
R28	10 k Ω	
P21	10 k Ω linéaire	Potentiomètre de circuit
C21	100 nF	
C22	220 pF	
IC2.1	TLC2274 ou équivalent (4 ampli op., alim monotension, sortie rail à rail)	
LED21	LED verte	Surveillance du circuit d'entrée
LED22	LED verte	Surveillance du circuit d'entrée
ENT	Connecteur d'entrée du signal BF à décoder	

Support 14 br.

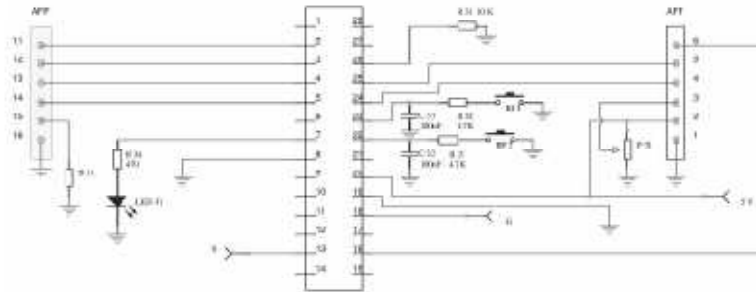


Figure 6.13. Schema of the PIC section

The PIC's program includes an algorithm for reforming the troughs when the reception is disrupted by the noise. When the gaps are shorter than the 1.25 ms or 2.50 ms expected (transmission at 400 bauds), they are reformed. Only 15 consecutive gaps in the initial synchronization frame need to be received correctly and without perturbation for acquisition to be started.

6.3. GPS input

GPS is only used to recover the time. It is read in \$GPGGA frameworks. GPS1 input is in high impedance ($R41 = 100\text{ k}\Omega$), whereas GPS2 input is isolated by an optocoupler (CNY 17 3). This section's output G is the "Clock Input" from the PIC (Figure 6.14).

This GPS input is facultative. Decoding performs very well without the connected GPS. The time therefore remains at 8888Z. As for the letter Z, initially intended to identify the decoder that receives the frame in network performance, it is only modifiable in the software.

Les résistances R23 et R24 servent à définir le seuil de basculement du second ampli, qui est de 250 mV avec les valeurs utilisées. Avec le gain de 10 du premier ampli, la sensibilité du montage est de 25mV. Elle est bien adaptée pour la plupart des récepteurs. Dans le cas où on aurait besoin d'accroître cette sensibilité, il faudrait augmenter R22 et réduire C22 dans la même proportion pour garder la même fréquence de coupure du filtre.

4C - Microcontrôleur et afficheur

Pour le montage autour du microcontrôleur, la résistance R31 a été ajoutée sur la broche 26 (Figure 6). D'autre part, les résistances en série avec les boutons-poussoirs ont été augmentées à 4,7 k Ω .

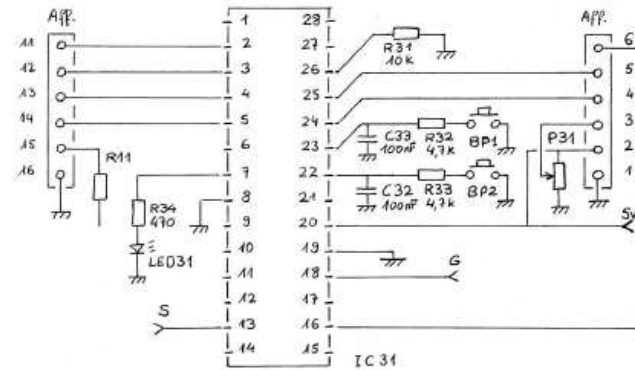


Figure 6 : Schéma de la partie PIC

Circuit du microcontrôleur de de l'afficheur

R31	10 k Ω	
R32	4,7 k Ω	
R33	4,7 k Ω	
R34	1 k Ω	
P31	10 k Ω linéaire	Potentiomètre de circuit
C31	100 nF	
C32	100 nF	
IC31	PIC 18F2685	Microcontrôleur programmé
LED31	LED rouge	Indication du décodage par le microcontrôleur
Afficheur	4 lignes de 20 caractères	Format 100 mm x 60 mm
BP1	Bouton Poussoir	
BP2	Bouton Poussoir	

Commentaires

La Figure 6.12 a été redessinée, mais ce n'est que la reproduction de la Figure 5 de mon article. Tout a été repris, le nom que j'ai donné aux composants, la valeur des composants. Le plagiaire a commis 2 erreurs dans le dessin du schéma car il n'a pas compris le fonctionnement. Habituellement on boucle des amplificateurs opérationnels par l'entrée « - » pour un fonctionnement linéaire. C'est ce qu'a fait le plagiaire. Mais ici, comme on est dans un montage original non linéaire, on entre exceptionnellement sur les entrées « + » pour les 2 amplificateurs opérationnels à droite du schéma.

Troisième exemple : pages 53 à page 56

Le premier paragraphe de texte de la page 50 est la traduction du premier paragraphe de la page 9 de mon article.

La Figure 6.13 de la page 51 a aussi été redessinée, en ajoutant une erreur.

L'article copié est en ligne sur internet, sur le site web <www.F1LVT.com>

L'article plagié dans ce quatrième extrait est :
[7] Jean-Paul YONNET, « Réalisation pratique d'un récepteur pour l'écoute permanente et le décodage des balises de détresse 406 MHz »

<http://www.f1lvt.com/files/547-RX-406-Serie-V2.219.pdf>

Dans cette colonne, ce sont les pages 7 à 9 de cet article

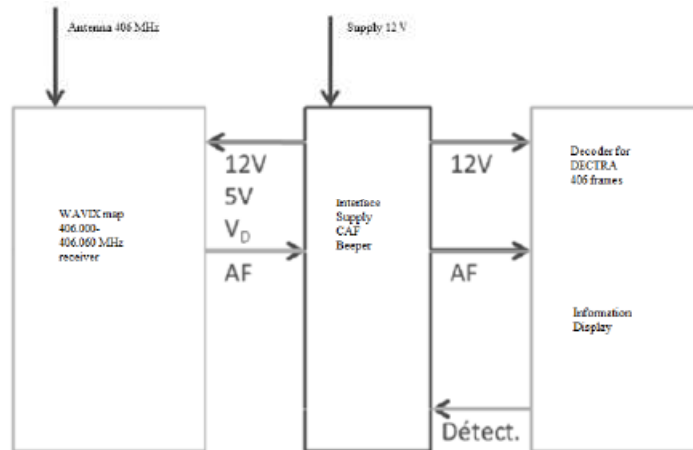


Figure 6.15. *The three parts of the system*

6.3.1.1. Setting and aligning the WAVIX map

6.3.1.1.1. Measurement points and parameters to control

On the receiver map, it is necessary to set the central frequency for the reception and align the input circuit's filters. It is also necessary to set the decoder's input level.

The four set points are as follows:

- the core of the L201 inductance to set the central frequency;
- the “core” of filters FL101 and FL201 for the input circuit (Figure 6.16);
- the interface map's potentiometer for the average polarization point of the varicap diodes, around 1.25 V;
- the input potentiometer for the DECTRA decoder.

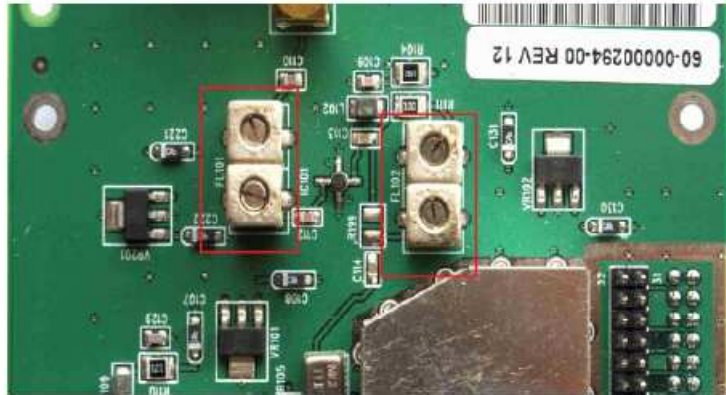


Figure 6.16. Helical filters for input circuits FL101 and FL102

The measurement points are as follows:

- the RSSI voltage, measured on condenser C322, on the nearest extremity of the MC13135 (Figure 6.16);
- the frequency of the OL1 oscillator, whose output is on the SMB connector in the middle of the map, making it possible to connect a frequency meter easily.

On the interface map, it is possible to block the CAF system and remain at the central receiving frequency. To do this, a device making it possible to isolate output 1 from the Op Amp has been planned, as shown in Figure 6.16. By isolating this output, by removing the Op Amp from its support and by linking pins 1 and 3 (or 5) to the support, the varicap's VD control voltage is directly linked to the setting potentiometer's output. In this way, we can apply a continuous voltage of 1.25 V for VD. When the central frequency has been set, to use the CAF system, we need to put the Op Amp back in place and link pin 1 with resistor R6. This link is made by the 2 position jumper seen in Figure 6.14 beside the Op Amp.

4. Réglages et alignement

4.1. Les points de mesure et les paramètres à régler

Sur la carte du récepteur, il faut caler la fréquence centrale de réception et aligner les filtres du circuit d'entrée. Il faut aussi régler le niveau d'entrée du décodeur.

Les quatre points de réglage sont :

- le noyau de l'inductance L201, pour régler la fréquence centrale (Photo 3),
- les « noyaux » des filtres FL101 et FL201, pour le circuit d'entrée (Photo 6),
- le potentiomètre de la carte d'interface, pour le point de polarisation moyen des diodes Vancap autour de 1,25 V,
- le potentiomètre d'entrée du décodeur DECTRA.



Photo 6 : Filtrés hélicoïdaux du circuit d'entrée FL101 et FL102

Les points de mesure sont :

- la tension RSSI, mesurée sur le condensateur C322, sur l'extrémité la plus proche du MC13135 (Photo 3).
- la fréquence de l'oscillateur OL1, dont la sortie est sur le connecteur SMB au milieu de la carte permettant de connecter facilement un fréquencemètre.

Sur la carte d'interface, il est possible de bloquer le système de CAF et de rester sur la fréquence centrale de réception. Pour cela, un dispositif permettant d'isoler la sortie 1 de l'AOP a été prévu sur la Figure 3. En isolant cette sortie, en enlevant l'AOP de son support et en reliant les broches 1 et 3 (ou 5) sur le support, la tension V_D de commande des Varicap est directement reliée à la sortie du potentiomètre de réglage. De cette façon, on peut imposer une tension continue de 1,25 V pour V_D . Quand le réglage de la fréquence centrale est effectué, pour mettre en service le système de CAF il faut remettre l'AOP en place et relier la broche 1 avec la résistance R6. Cette liaison est faite par le cavalier à 2 positions qu'on voit sur la Photo 2 à côté de l'AOP.

6.3.1.1.2. Setting the central frequency for reception on 406.032 MHz

Measurement conditions are as follows:

- UHF generator: frequency 406.032 MHz, in the order of -70 to -80 dBm;
- varicap control voltage: $V_D = 1.25$ V.

Set point: Inductance L201

Measurement points are as follows:

- continuous voltage RSSI (end of C322 closest to the MC13135).

Frequency was measured using the map's central connector (SMB connector).

Objectives are as follows:

- to obtain the highest possible RSSI voltage. It should be greater than 800 mV;
- the frequency measured (OL1) should be around 373.215 MHz.

6.3.1.1.3. Setting input circuits to obtain maximal sensitivity

Measurement conditions are as follows:

- UHF generator: unmodulated frequency 406.032 MHz around level -110 dBm;
- varicap control voltage: $V_D = 1.25$ V.

Set point: Helical filters FL101 and FL102 (Figures 6.16 and 6.17).

Measurement point: Continuous RSSI voltage (extremity of C322 closest to C13135).

Aim: To obtain the highest possible RSSI voltage. Compared to the previous setting, on a map originally aligned for 400 MHz, we eventually gain around 30–50 mV.

4-2. Calage de la fréquence centrale de réception sur 406,032 MHz

Conditions de mesure :

- Générateur UHF : fréquence 406,032 MHz, niveau de l'ordre de -70 à -80 dBm
- Tension de commande des Varicap : $V_D = 1,25$ V (voir paragraphe précédent)

Point de réglage : Inductance L201

Points de mesure :

- Tension continue RSSI (extrémité de C322 la plus proche du MC13135)
- Fréquence mesurée sur le connecteur central de la carte (connecteur SMB)

Objectifs :

- Obtenir la tension RSSI la plus élevée possible. Elle doit être supérieure à 800 mV.
- La fréquence mesurée (OL1) doit se situer autour de 373,215 MHz

4-3. Réglage des circuits d'entrée pour obtenir la sensibilité maximale

Conditions de mesure :

- Générateur UHF : fréquence 406,032 MHz non modulé, niveau autour de -110 dBm
- Tension de commande des Varicap : $V_D = 1,25$ V

Point de réglage : Filtrés hélicoïdaux FL101 et FL102 (Photos 6 et 7)

Point de mesure : Tension continue RSSI (extrémité de C322 la plus proche du MC13135)

Objectif : Obtenir la tension RSSI la plus élevée possible. Par rapport au réglage précédent, sur une carte alignée d'origine pour 400 MHz, on arrive à gagner environ 30 à 50 mV.



Photo 7 : Filtrés hélicoïdaux du circuit d'entrée de la carte Wavix (doc I OKO)

4-3. Mise en route de la Correction Automatique de Fréquence

Il n'y a rien à régler, c'est une vérification du bon fonctionnement.

Conditions de mesure :

- Générateur UHF : fréquence alternativement sur 406,020 MHz et sur 406,040 MHz (± 10 kHz autour de la fréquence centrale), niveau de l'ordre de -70 dBm



Figure 6.17. Helical filters from the input circuit of the WAVIX map

6.3.1.1.4. Setting up the automatic correction frequency

Measurement conditions are as follows: UHF generator (frequency alternatively at 406.020 MHz and 406.040 MHz (± 10 kHz around the central frequency) in the order of -70 dBm).

Measurement points are as follows:

- continuous RSSI voltage (extremity of the C322 closest to MC13135);
- varicap control voltage: VD;
- frequency measured on the map's central connector (SMB connector);

Objectives are as follows:

- checking the VD voltage, which should exceed 1.05 to 1.45 V (± 0.05 V);
- checking that the RSSI voltage does not change.

The frequency measured (OL1) should alternatively vary between 373.205 MHz and 373.225 MHz (± 5 kHz).

Point de mesure :

- Tension continue RSSI (extrémité de C322 la plus proche du MC13135)
- Tension de commande des Varicap : VD
- Fréquence mesurée sur le connecteur central de la carte (connecteur SMB)

Objectifs :

- Vérifier la tension VD, qui doit passer de 1,05 V à 1,45 V ($\pm 0,05$ V)
- Vérifier que la tension RSSI ne change pas.
- La fréquence mesurée (OL1) doit varier alternativement entre 373,205 MHz et 373,225 MHz (± 5 kHz)

4-4. Réglage de la sensibilité du décodeur

Conditions de mesure : Balise blindée. Liaison avec l'entrée du récepteur par atténuateur calibré

Point de réglage : Potentiomètre d'entrée de la carte DECTRA

Point de mesure : Seuil de décodage des trames

Objectif : Obtenir la plus grande sensibilité possible en décodage de trames.

Comme tout le monde n'est pas équipé avec une balise blindée, on peut remplacer cette mesure par un pré-réglage du niveau d'entrée de la carte DECTRA. Il faut que le potentiomètre d'entrée soit à environ 1/4 ou 1/3 de sa course. Le réglage n'est pas critique mais il ne faut pas monter le niveau au-dessus du tiers de la course (bruit trop élevé), ni trop atténuer en dessous du sixième de la course (niveau trop faible pour pouvoir décoder).

5- Sensibilité du récepteur en décodage

Mesurer la sensibilité en décodage de signaux numériques n'est pas facile à faire. Ce qui intervient, ce n'est pas uniquement le traitement des petits signaux, mais c'est l'aptitude à surfer les signaux numériques dans le bruit. Nous avons fait une mesure comparative entre notre récepteur associé à son décodeur de trames avec un récepteur de référence, un récepteur AOR AR8000, associé lui aussi à un décodeur DECTRA.

Pour cela une balise COSPAS SARSAT de faible puissance a été placée dans un boîtier blindé. Les signaux ont été envoyés aux récepteurs par un câble coaxial avec une atténuation calibrée par un atténuateur à cellules commutées par pas de 1 db. En augmentant l'atténuation pas par pas, nous avons mesuré le seuil de limite de décodage.

Résultat : l'écart entre les deux récepteurs est inférieur au pas de notre atténuateur ! Les seuils de décodage sont les mêmes pour notre récepteur WAVIX et l'AOR AR8000 de référence. Les sensibilités sont tout à fait comparables.

Le seul point qui pourrait encore être amélioré sur ce très bon récepteur, c'est le filtrage. Il est actuellement réalisé par un filtre céramique 10,7 MHz suivi par un second filtre céramique 455 kHz assez large pour la deuxième et la troisième FI. L'utilisation de filtres plus étroits pourrait peut-être permettre d'améliorer les performances du récepteur.

Commentaires

La Figure 6.15 provient du même article, page 2, qui n'a pas été reproduite ici.

Le texte qui suit est la traduction directe de ce que j'ai écrit dans mon article.

La Figure 6.16 mérite quelques commentaires. Etant l'auteur de cette photo, je peux fournir la version originale en grande définition, sans les rectangles rouges que j'ai ajoutés pour bien montrer l'emplacement des filtres.

En plus sur cette photo, on voit les références de la carte électronique. Cette référence est unique. Je peux montrer cette carte électronique et tous les montages électroniques photographiés, car ce sont des prototypes que j'ai construits et que j'ai conservés.

Quatrième exemple : pages 60

Les commentaires sont ci-dessous.

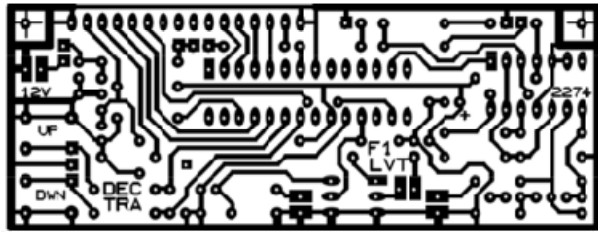


Figure 6.21. Drawing of a printed circuit board (side track)

The printed circuit board is intended for numerous variants, for example supply for the input circuit (operational amplifier) can be 8 or 5 V. With a supply using a 9 V battery, all the circuits are supplied with a stabilized 5 V voltage. We can therefore mount only a single regulator, a 7805, and bridge the second regulator. The point marked 12 V is the arrival point for the supply voltage when the mounting is supplied with 12 V and the implantation of components is presented in Figure 6.22.

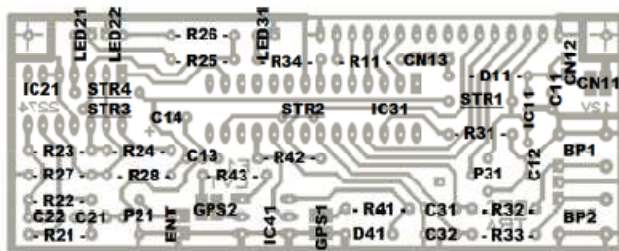


Figure 6.22. Installing the components

6.4.3. Building the decoder

First of all, we must reassemble all the components (the display with four lines of 20 characters, the programmed PIC 18F2685, and the printed circuit board), as well as all the peripheral components (Figure 6.23).

La Figure 6.21 provient de la page 3 de l'article :
[3] Jean-Paul YONNET, « Décodeur de trames de balises de détresse 406 MHz : de nouvelles fonctionnalités avec la carte DECTRA (Partie 1 / 2) »

<http://www.f1lvt.com/files/333-CarteDECTRA-V6P1.179.pdf>

On voit écrit « F1LVT » au milieu des pistes du circuit imprimé. Mon indicatif radioamateur a été mis en signature. L'identifiant « F1LVT » se retrouve page 60 de l'ouvrage.

Le paragraphe de texte est la traduction du 3^{ième} paragraphe de la page 5 de l'article :

[2] Jean-Paul YONNET, « Affichage sur 4 lignes des informations contenues dans les trames des balises 406 MHz : construction du décodeur »

<http://www.f1lvt.com/files/322-Decodeur406-Part2-V2.123.pdf>

La Figure 6.22 provient de la page 1 de l'article :

[4] Jean-Paul YONNET, « Décodeur de trames de balises de détresse 406 MHz : de nouvelles fonctionnalités avec la carte DECTRA (Partie 2 / 2) »

<http://www.f1lvt.com/files/334b-ConstructionDECTRA2274-V7P2.183.pdf>

Le dernier paragraphe du texte provient du même article que la Figure 6.22. C'est le second paragraphe de la page 2.

Cinquième exemple : pages 61 à 63

L'article copié est en ligne sur internet, sur le site web
<www.F1LVT.com>

L'article plagié dans cet extrait est :
[4] Jean-Paul YONNET, « Décodeur de trames de balises de détresse 406 MHz : de nouvelles fonctionnalités avec la carte DECTRA (Partie 2 / 2) »
<http://www.f1lvt.com/files/334b-ConstructionDECTRA2274-V7P2.183.pdf>

Dans cette colonne, ce sont les pages 2 à 4 de cet article

On the printed circuit board, it is necessary to pierce 171 0.8 mm perforations. It is then necessary to enlarge the perforations in the PBs and the display connectors to 1.1 mm. Three mounting holes should be pierced at 3 mm. The third hole makes it possible to place a nylon screw of 3 mm, which serves only as a support between the printed circuit board and the display when the map is fixed behind the display.

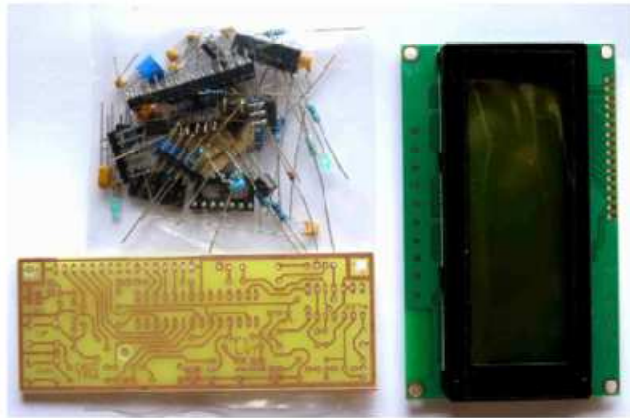


Figure 6.23. All components for the 406 MHz decoder

6.4.3.1. The different stages of construction

1) We must first start by soldering the four bypasses (Figure 6.24).

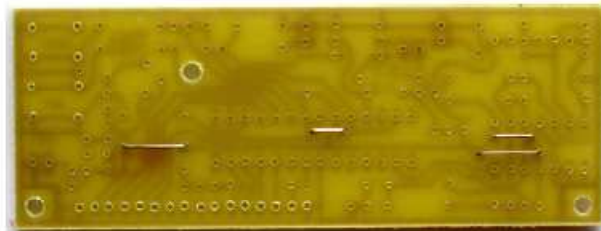


Figure 6.24. Mounting the four bypasses

2 - La construction du décodeur

Nous allons décrire la construction du décodeur « 4 lignes » avec le circuit imprimé DECTRA.

Tout d'abord il faut rassembler tous les composants (l'afficheur 4 lignes de 20 caractères, le PIC 18F2685 programmé, et le circuit imprimé), ainsi que tous les composants périphériques (Photo 1).

Sur le circuit imprimé, il faut percer les 171 trous à 0,8 mm. Il faut ensuite agrandir les trous des BP et ces connecteurs de l'afficheur à 1,1 mm. Les 3 trous de fixation sont à percer à 3 mm. Le troisième trou permet de mettre une vis nylon de 3 mm qui sert uniquement d'appui entre le circuit imprimé et l'afficheur quand la carte est fixée derrière l'afficheur.



Photo 1 : Tous les composants pour le décodeur 406

3 - Les différentes étapes a construction

φ1 – Il faut d'abord commencer par souder les 4 pontages (Photo 2)

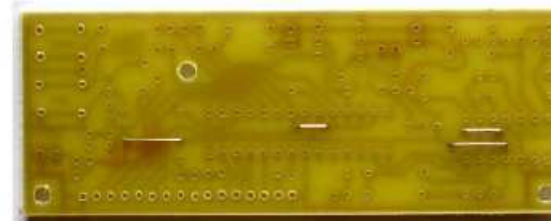


Photo 2 : Montage des 4 pontages

2) We can then solder the flat components: resistors, diodes and supports for the integrated circuits (Figure 6.25).

3) The higher components can then be added: condensers, regulators and connectors (Figure 6.25). Figure 6.26 shows the process of checking the value of the condenser C22 of 220 pF of the input filter.

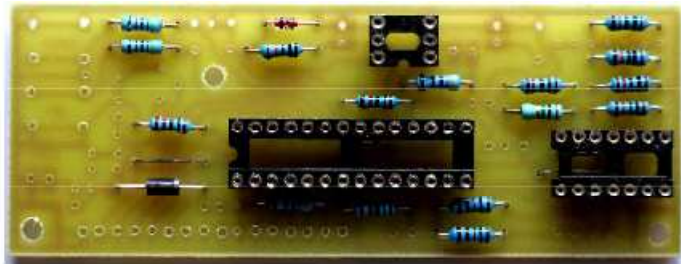


Figure 6.25. The map with the supports and the mounted resistors

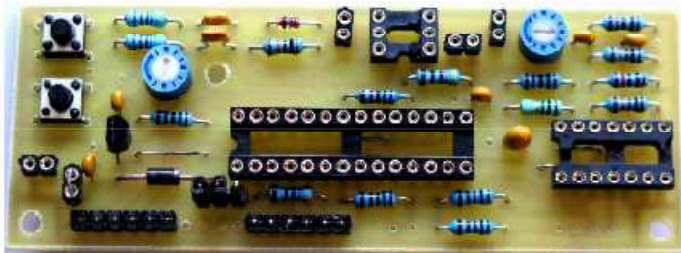


Figure 6.26. The map is practically finished; no more remains apart from mounting three LED side tracks

4) The display connectors are mounted side tracks (Figure 6.27). This photo also shows the LEDs mounted side tracks and turned toward the exterior to be visible above the display. We also see the nylon thread used to keep the map parallel with the display.

φ2 – On peut ensuite souder les composants plats : résistances, diodes et les supports des circuits intégrés (Photo 3).

φ3 – Les composants plus hauts peuvent être ensuite ajoutés : condensateurs, régulateur, connecteurs (Photo 4) à Photo 5 montre la vérification de la valeur du condensateur C22 de 220 pF du filtre d'entrée.

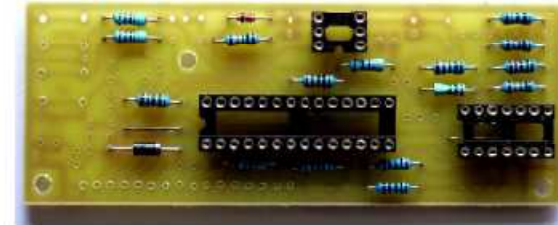


Photo 3 : La carte avec les supports et les résistances montés

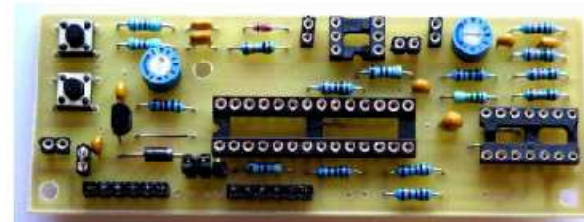


Photo 4 La carte est pratiquement finie, il ne reste plus que le montage des 3 LED côté pistes.



Photo 5 : Vérification de la valeur du condensateur de 220 pF avec le I C-meier I C-100A

5) Two 6-pin female strips are soldered below the display (Figure 6.28)

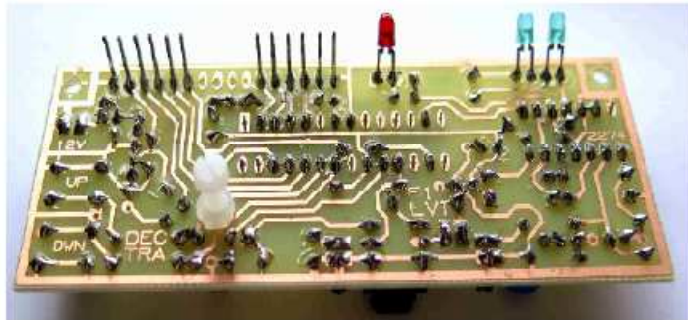


Figure 6.27. Two 6-pin connectors soldered copper side tracks. We also see the three LEDs turned toward the exterior, as well as the nylon thread to keep the map parallel to the display. For a color version of the figure, see www.iste.co.uk/benslama/networks.zip

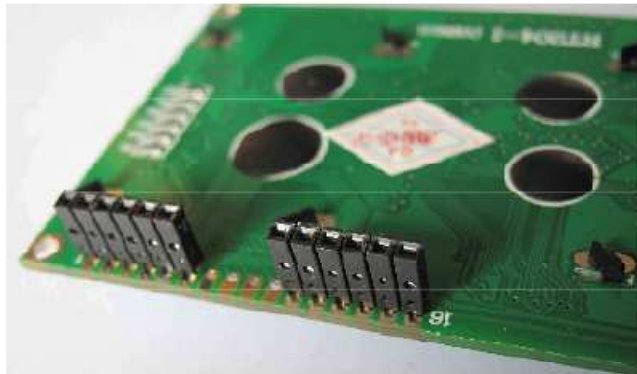


Figure 6.28. Two 5-pin female connectors soldered below the display

For the direction of the LEDs, the cathodes are marked on the printed circuit board by the square panelizations. On the LEDs

φ1 – Le montage des connecteurs de l'afficheur est effectué côté pistes (Photo 6). Cette Photo montre aussi les LED montées côté pistes et inclinées vers l'extérieur pour pouvoir être vues au-dessus de l'afficheur. On voit aussi la vis nylon utilisée pour maintenir la carte parallèlement à l'afficheur.

Les 2 barrettes à 6 broches femelles sont soudées sous l'afficheur (Photo 7)

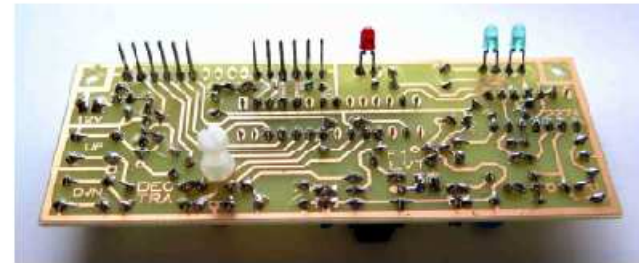


Photo 6 : Les 2 connecteurs 6 broches soudés côté piste cuivre. On voit aussi les 3 LED inclinées vers l'extérieur, ainsi que la vis nylon pour maintenir la carte parallèlement à l'afficheur



Photo 7 : Les 2 connecteurs femelles 6 broches soudés sous l'afficheur

Pour le sens des LED, les cathodes sont repérées sur le circuit imprimé par des pastilles carrées. Sur les LED elles-mêmes, les cathodes sont identifiées par un plat latéral ou par une patte plus courte. Une autre solution consiste à alimenter le montage sans les circuits intégrés, à ponter les broches 7 et 20 du support du PIC et à présenter la LED rouge - elle doit s'allumer. Toujours alimenté, quand les 2 LED vertes sont correctement orientées, elles doivent aussi s'allumer toutes les 2.

Commentaires

Les mêmes remarques que précédemment. C'est de la recopie simple de mes articles : texte et photos. Et je ne suis jamais cité dans l'ouvrage

2- Quelques compléments d'information

Références des articles concernés que j'ai publiés et qui ont été plagiés

[1] Jean-Paul YONNET, « Décodage des balises 406 MHz. Affichage sur 4 lignes des informations contenues dans les trames »
<http://www.f1lvt.com/files/321-Decodeur406-Part1.81.pdf>

[2] Jean-Paul YONNET, « Affichage sur 4 lignes des informations contenues dans les trames des balises 406 MHz : construction du décodeur »
<http://www.f1lvt.com/files/322-Decodeur406-Part2-V2.123.pdf>

[3] Jean-Paul YONNET, « Décodeur de trames de balises de détresse 406 MHz : de nouvelles fonctionnalités avec la carte DECTRA (Partie 1 / 2) »
<http://www.f1lvt.com/files/333-CarteDECTRA-V6P1.179.pdf>

[4] Jean-Paul YONNET, « Décodeur de trames de balises de détresse 406 MHz : de nouvelles fonctionnalités avec la carte DECTRA (Partie 2 / 2) »
<http://www.f1lvt.com/files/334b-ConstructionDECTRA2274-V7P2.183.pdf>

[5] Jean-Paul YONNET « Construire un récepteur 406 simple et pas cher (première partie) »
<http://www.f1lvt.com/files/545-RX-406-Part1-V2.215.pdf>

[6] Jean-Paul YONNET, « Un récepteur multifréquence simple et performant pour l'écoute et le décodage des balises de détresse 406 MHz (seconde partie) »
<http://www.f1lvt.com/files/546-RX-406-Part2-V5.217.pdf>

[7] Jean-Paul YONNET, « Réalisation pratique d'un récepteur pour l'écoute permanente et le décodage des balises de détresse 406 MHz »
<http://www.f1lvt.com/files/547-RX-406-Serie-V2.219.pdf>

Tous ces articles sont en ligne sur le site web www.F1LVT.com. « F1LVT » est mon indicatif radioamateur. Sur ce site www.F1LVT.com, il est bien précisé que (second paragraphe de la page d'accueil) :

« Tous les documents et toutes les photos sont la propriété de l'auteur F1LVT (sauf mention contraire). Ils ne peuvent être utilisés qu'en citant correctement la source »

F1LVT

Réalisations et constructions

Ce site donne accès à une série d'articles décrivant des réalisations personnelles. La plupart concernent des montages pour la radiogoniométrie : balises, récepteurs, goniomètres Doppler, décodeurs 406, etc. Ces articles sont en format "pdf".

Tous les documents et toutes les photos sont la propriété de l'auteur F1LVT (sauf mention contraire). Ils ne peuvent être utilisés qu'en citant correctement la source.

Ces circuits imprimés ont souvent été réalisés avec le logiciel TC14. Les dessins sont en format PDF. En imprimant le dessin à l'échelle 1, on obtient directement le typon pour le tirage.

> Balises (en particulier balises 121.5 MHz et balises 406 MHz de détresse)

* VHF * UHF * Toutes bandes

> Générateur et décodeur de trames de balise 406 (partie 1)

* Générateurs de trames

* Décodeurs de trames

> Décodeur de trames 406 (partie 2) et récepteurs

* Construction de décodeurs

* Récepteurs 406

> Radiogoniométrie

* Mesure de direction

* Doppler

* Homing et TDOA

> Transmissions

* Montages

* Transpondeur

> Divers

[Quelques présentations techniques](#)

[Quelques sites qu'il faut aller visiter](#)

> Annexes :

[Constructions 1](#) [Constructions 2](#) [Outils](#)

[Montréal3V2](#) [RT&AG](#)



Un excellent ouvrage vient de sortir :

"L'Électricité : Découvreurs et inventeurs"

André Ducluzaux, 5 tomes, Editions du Net

Une mine d'informations sur l'Histoire Scientifique

[English](#)

Nouveau sur le site

Décodeur de trames 406

-- Carte DECTRA pour le décodeur (Part 1) (Part 2)

-- DECTRA decoder: English version (Part 1) (Part 2)

Version "v-D3F"

-- Les versions successives du programme du PIC

-- Alarmes visuelles et sonores pour le décodeur de trames

-- Circuit Imprimé -- Fichier TCI du CI

Construction du Doppler Montréal et de ses antennes

-- Radiogoniométrie Doppler

-- Amplification des commandes des diodes PIN par MAX235

-- Standardisation des connecteurs pour le Doppler Montréal

-- Principe des antennes Doppler

-- Le MAX234 pour l'antenne du Montréal 3V2 [CI MAX234](#)

Balises

-- Balise VHF pilotée par DDS

-- Balise d'exercice 406 "Quart de Watt" Part 1/2 Part 2/2

-- Puissance balise "Quart de Watt"

-- Connexion d'un GPS

Autres montages

-- RX406 : (Part1) (Part 2) Récepteur-décodeur 406

-- CI carte d'interface RX406

-- Récepteurs - décodeurs "RX 406" construits par l'ADRASEC 38

-- Installation d'un DSP interne dans un Kenwood TS-450

-- Microphone DTMF pour TX Kenwood

-- Modification du microphone DTMF Technofix

Les articles concernés ont été mis en ligne entre 2012 et 2016. Ils sont connus sur internet. Par exemple avec un logiciel de détection de plagiat en ligne comme « Plagscan », il suffit de rentrer quelques lignes d'un article pour identifier et afficher le fichier PDF concerné, ainsi que son origine sur le site internet www.F1LVT.com.

<https://www.plagscan.com/analyse-de-plagiat/>

Ces travaux sur la réception des balises 406 MHz et sur le décodage des trames ont été effectués pour la « Sécurité Civile » en France, dans le cadre des activités associatives ADRASEC (Association Départementale des Radioamateurs au Service de la Sécurité Civile). Ils sont mis en ligne pour les radioamateurs, dans l'esprit d'entraide et de partage entre radioamateurs. Ils sont publiés sur le site internet www.F1LVT.com. Il y a une centaine d'articles sur ce site internet et de l'ordre d'un millier de pages.

Ce sont des travaux de recherche originaux et de développement pour aboutir à des équipements fonctionnels.

Pour réduire les risques de piratage, tous les fichiers PDF sur les décodeurs de trames 406 sont protégés. C'est le cas des articles [1] à [4] ; on ne peut théoriquement pas faire d'extraction ou de 'copier coller'.

Synthèse

Globalement c'est du pillage de mes travaux et du plagiat manifeste de mes articles : texte et illustrations. C'est 27 pages sur les 28 du chapitre 6 qui sont concernées

Je ne suis jamais cité dans l'ouvrage. Je n'existe pas.

Et les auteurs ne m'ont jamais demandé l'autorisation de réutiliser mes articles, voire des morceaux de texte, des photos ou des schémas

Ce pillage et ce plagiat manifeste ne peuvent pas rester sans suite.

Fait à Grenoble, le 20 avril 2018

Jean-Paul YONNET